

УДК 537.226.4

© 1992

**ВЛИЯНИЕ ПОСТОЯННОГО ЭЛЕКТРИЧЕСКОГО ПОЛЯ
НА НЕСОРАЗМЕРНУЮ ФАЗУ СОБСТВЕННЫХ СЕГНЕТОЭЛЕКТРИКОВ
ТИПА $\text{Sn}_2\text{P}_2\text{Se}_6$**

M. M. Майор, Ю. М. Высочанский, Ш. В. Молнар, М. М. Хома

Изучено влияние направленного вдоль оси спонтанной поляризации постоянного электрического поля на фазовые переходы паразелектрическая—несоразмерная—сегнетоэлектрическая фаза в собственном сегнетоэлектрике $\text{Sn}_2\text{P}_2\text{Se}_6$. Выполнен анализ вида диаграммы «температура—напряженность электрического поля» с учетом близости ожидаемого фазового перехода непосредственно из паразелектрической в сегнетоэлектрическую фазу к трикритической точке и связи параметра порядка с упругими деформациями. Исследованы особенности диэлектрической нелинейности в несоразмерной фазе и прослежено ее изменение при замещении олова на свинец.

Влияние постоянного смещающего электрического поля на несоразмерные (НС) фазовые переходы (ФП) в собственных сегнетоэлектриках в последнее время исследуется весьма интенсивно как теоретически, так и экспериментально. Вид фазовых $E-T$ диаграмм в этих материалах существенно зависит от величин коэффициентов термодинамического потенциала. При этом характер полевых зависимостей температур ФП в значительной мере определяется близостью «виртуального» ФП из паразелектрической в сегнетоэлектрическую фазу к трикритической точке. Известные экспериментальные данные для кристаллов $\text{Sc}(\text{NH}_2)_2$ ^[1] и NaNO_2 ^[2] удовлетворительно объясняются в рамках феноменологической теории, учитывающей соответственно второй и первый род такого «виртуального» ФП.

Ранее^[3] исследовалось влияние постоянного электрического поля на фазовую диаграмму кристаллов $\text{Sn}_2\text{P}_2(\text{Se}_x\text{S}_{1-x})_6$ с точкой Лифшица при $x_{\text{л}} \equiv 0.28$. Данные об изменении вида полевых диаграмм с приближением к точке Лифшица путем уменьшения содержания селена интерпретировались в предположении второго рода «виртуального» ФП. Однако установлено^[4], что род описываемых ФП непосредственно из паразелектрической в сегнетоэлектрическую фазу изменяется со второго на первый при $x > 0.6$. В настоящей работе с использованием новых экспериментальных результатов и обобщенных в^[4] термодинамических данных выполнен анализ влияния направленного вдоль оси спонтанной поляризации электрического поля в собственном сегнетоэлектрике $\text{Sn}_2\text{P}_2\text{Se}_6$.

Другим важным моментом, который для собственных сегнетоэлектриков с НС фазой до настоящего времени в литературе не обсуждался, является влияние электрического поля на характер аномалий диэлектрической проницаемости при НС ФП. В частности, в несобственных сегнетоэлектриках максимум диэлектрической проницаемости при ФП НС-сегнетофаза под воздействием постоянного электрического поля, сдвигаясь вверх по температуре, подавляется и, как в случае сегнетоэлектрического ФП второго рода, кривые $\epsilon'(T)$ при различных напряжениях полей не пересекаются. Такое влияние электрического поля на диэлектрическую проницаемость в НС фазе в работе^[5] объясняется эффектом

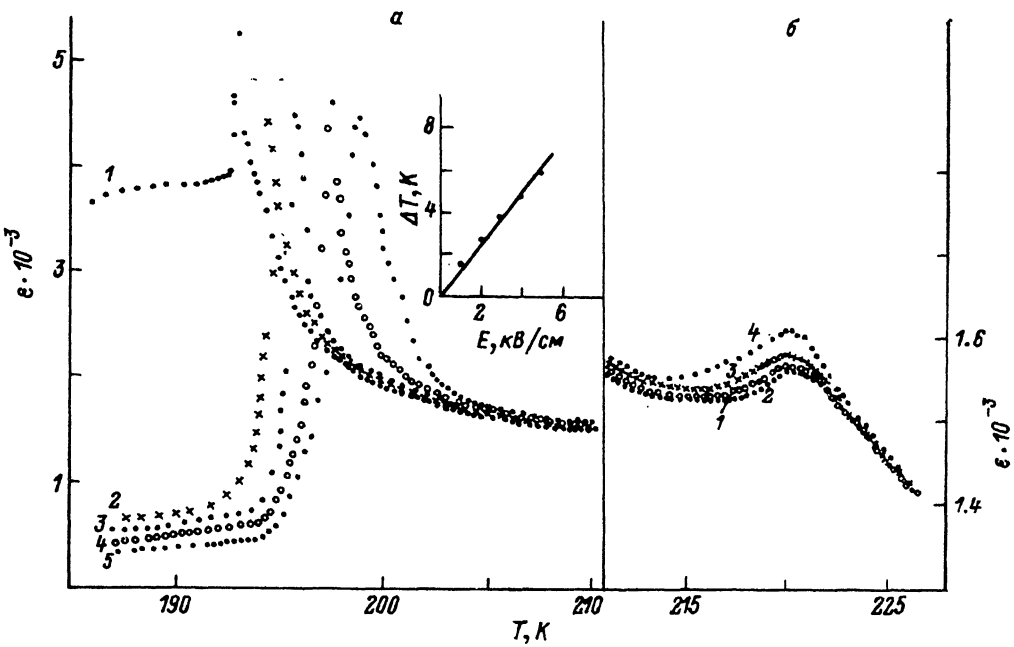


Рис. 1. Температурные зависимости ϵ' кристалла $\text{Sn}_2\text{P}_2\text{Se}_6$ под влиянием смещающего электрического поля напряженностью E (кВ/см): 1 — 0, 2 — 1, 3 — 2, 4 — 4, 5 — 5.

На вставке — полевая зависимость T_c .

зажатия солитонной структуры. Представляет интерес сравнить с данными для несобственных сегнетоэлектриков влияние смещающего электрического поля на $\epsilon'(T)$ в низкотемпературной области НС фазы собственных сегнетоэлектриков, в которых, по-видимому, выраженная солитонная структура отсутствует. Такие исследования выполнены для кристаллов $\text{Sn}_2\text{P}_2\text{S}_6$ и $(\text{Pb}, \text{Sn}_{1-y})_2\text{P}_2\text{S}_6$.

Для исследований использовался образец в форме пластины полярного среза, вырезанный из выращенного методом Бриджмена монокристалла $\text{Sn}_2\text{P}_2\text{Se}_6$. В качестве электродов применялась серебряная паста. Удельное сопротивление кристалла в области температур его ФП выше $10^{10} \Omega \cdot \text{см}$ и $\tan \delta \approx 0.002 \div 0.005$. Отметим, что это значительно более высокоомные кристаллы, чем применявшимся для исследований в работе [3], и поэтому экранирование внешнего электрического поля и вклад объемно-зарядной поляризации в ϵ' , характерное для сегнетоэлектриков-полупроводников, в них выражены намного меньше.

Кристаллы твердого раствора $(\text{Pb}_{0.25}\text{Sn}_{0.75})_2\text{P}_2\text{Se}_6$ выращены методом газотранспортных химических реакций. Специально отобраны высокоомные образцы. Измерения выполнены в криостате системы «Утрекс» в квазистатическом режиме при скорости изменения температуры 0.1 K/мин с применением моста переменного тока Р5016.

На рис. 1 представлены результаты измерения температурных зависимостей ϵ' при различных значениях смещающего электрического поля. При напряженностях поля выше 5 кВ/см резко возрастают диэлектрические потери и поэтому результаты становятся некорректными. С увеличением напряженности электрического поля максимум $\epsilon'(T)$ при T_c — температуре ФП НС-сегнетофаза смещается в область более высоких температур, при этом ϵ'_{\max} существенно не меняется и картина подобна, как и в случае сегнетоэлектрического ФП первого рода. Максимум $\epsilon'(T)$, с которым связывается ФП параэлектрическая — НС фаза, при увеличении напряженности электрического поля увеличивается.

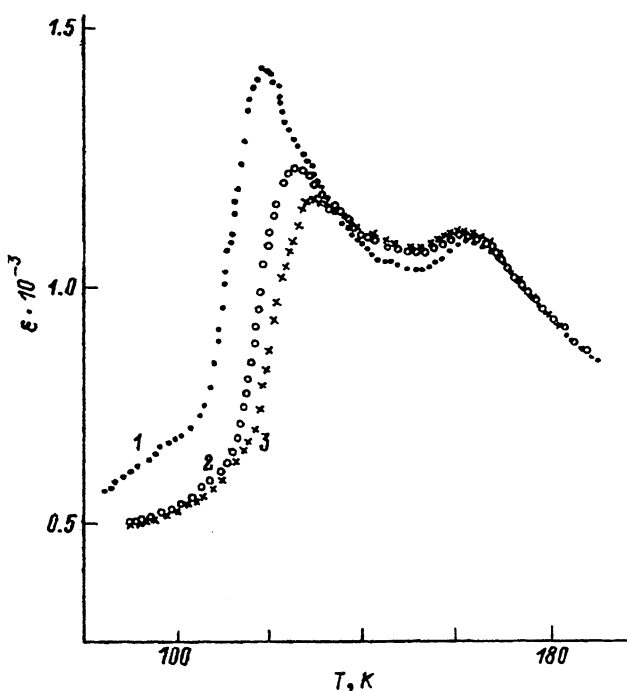


Рис. 2. Температурные зависимости ϵ' кристалла твердого раствора $(\text{Pb}_{0.25}\text{Sn}_{0.75})_2\text{P}_2\text{Se}_6$ под влиянием смещающего электрического поля напряженностью E (кВ/см): 1 — 0, 2 — 1, 3 — 1.5.

Ранее было установлено, что при частичном замещении атомов Sn на Pb в твердых растворах $(\text{Pb}_y\text{Sn}_{1-y})_2\text{P}_2\text{Se}_6$ максимум при T_c заметно размывается, и предполагалось, что в результате влияния индуцированных таким путем дефектов на низкотемпературной границе НС фазы образуется так называемое хаотическое состояние, которое подобно по своим свойствам состоянию сегнетоэлектриков в области размытого ФП или, как еще называют, состоянию кластерного стекла [5]. С целью изучения влияния поляризующего электрического поля на это состояние исследованы температурно-полевые зависимости $\epsilon'(T)$ в кристалле твердого раствора $(\text{Pb}_{0.25}\text{Sn}_{0.75})_2\text{P}_2\text{Se}_6$ (рис. 2).

В отличие от $\text{Sn}_2\text{P}_2\text{Se}_6$ в твердом растворе $(\text{Pb}_{0.25}\text{Sn}_{0.75})_2\text{P}_2\text{Se}_6$ (рис. 2) максимум $\epsilon'(T)$ с увеличением напряженности смещающего электрического поля подавляется и темп сдвига вверх по температуре значительно выше.

Как следует из рис. 1, с повышением напряженности электрического поля скачок ϵ' при T_c в $\text{Sn}_2\text{P}_2\text{Se}_6$ размывается от 0.2 К при $E = 0$ до 1.0 К при $E = 4$ кВ/см. За скачок принимается выделяющееся резкое изменение на зависимости $\epsilon'(T)$. Причиной наблюдаемого размытия ФП первого рода, видимо, является неоднородность электрического поля в образце. Точка ФП идентифицировалась по температуре пика $\epsilon'(T)$. Это температура, при которой по всему образцу произошел переход из сегнетофазы в НС фазу.

Проанализируем фазовую $E-T$ диаграмму кристалла $\text{Sn}_2\text{P}_2\text{Se}_6$ в рамках феноменологической теории. Разложение термодинамического потенциала в ряд по параметру порядка и его пространственным производным для этого кристалла во внешнем электрическом поле имеет вид

$$\Delta\Phi = \frac{\alpha}{2} \eta^2 + \frac{\beta}{4} \eta^4 + \frac{\gamma}{6} \eta^6 + \frac{\delta}{2} (\nabla\eta)^2 + \frac{g}{2} (\nabla^2\eta)^2 + \frac{\lambda}{2} \eta^2 (\nabla\eta)^2 - EP. \quad (1)$$

Здесь $\alpha = \alpha_T (T - T_0)$; коэффициенты β , γ , δ , g , λ не зависят от температуры; γ , g , $\lambda > 0$. Член $(\gamma/6) \eta^6$ включен в разложение (1), поскольку «виртуальный» ФП паразелектрическая—сегнетоэлектрическая фаза первого рода, т. е. $\beta < 0$ [4]. Градиентный член $(1/2) \lambda \eta^2 (\nabla \eta)^2$ описывает температурную зависимость волнового вектора модуляции, которая в кристалле $\text{Sn}_2\text{P}_2\text{Se}_6$ действительно имеет место [6, 7]. С другой стороны, необходимость этого члена обусловлена тем, чтобы описать ФП второго рода паразелектрическая—НС фаза при $\beta < 0$. Исходя из разложения термодинамического потенциала (1), с учетом дальнодействующих упругих сил [3] в одногармоническом приближении выражения для полевых зависимостей температур ФП паразелектрическая—НС фаза T_i и точки потери устойчивости сегнетофазы относительно НС фазы T_c в слабых электрических полях $(E^2/a^2 \ll \alpha/\beta)$ имеют вид

$$T_i(E) = T_i(0) - \frac{3B_2 E^2}{3\alpha_0^2 \alpha_T}, \quad (2)$$

$$T_c(E) = T_c(0) + \frac{3B_2 E}{\sqrt{(3B_2 - B_1)\alpha_0 \alpha_T}}, \quad (3)$$

где

$$\alpha = \alpha_T (T - T_0), \quad B_1 = \beta + \Delta + \frac{2}{3} \lambda k^2, \quad B_2 = \beta + 2\Delta + \frac{1}{3} \lambda k^2, \quad (4)$$

Δ — щель, обусловленная дальнодействующими упругими силами [8]; T_0 — температура «виртуального» ФП пара-сегнетофазы.

Используя имеющиеся параметры для кристалла $\text{Sn}_2\text{P}_2\text{Se}_6$, оценим с помощью формул (2) и (3) сдвиг температур ФП под влиянием поля и сравним с экспериментом.

Величину коэффициента B_1 находим из калориметрических данных по скачку теплоемкости ΔC_p при ФП пара-НС фаза из формулы

$$\Delta C_p = \frac{\alpha^2 T_i}{3B_1}. \quad (5)$$

При оценках [4] коэффициентов потенциала (1) использовалась постоянная Кюри—Вейсса, равная $0.7 \cdot 10^5$ К, которая получена для образцов с характерным низкочастотным вкладом в ϵ' , сопровождающимся большими диэлектрическими потерями на измеряемых частотах 1—50 кГц. Этот низкочастотный вклад в ϵ' в исследованном кристалле $\text{Sn}_2\text{P}_2\text{Se}_6$ полностью отсутствует, о чем свидетельствуют очень низкие значения $\operatorname{tg} \delta \approx 0.002$ и практически отсутствие частотной зависимости ϵ' в диапазоне 1—5000 кГц в окрестности T_i . Это позволяет надеяться на более точное определение постоянной Кюри—Вейсса для данного материала. Она равна $0.53 \cdot 10^5$ К, соответственно $\alpha_T = 2.13 \cdot 10^6 \text{ Дж} \cdot \text{м} / \text{Кл}^2 \cdot \text{К}$. Коэффициент B_1 при этом составляет $3.2 \cdot 10^9 \text{ Дж} \cdot \text{м}^5 \cdot \text{Кл}^{-4}$. Из соотношений (4) при известных $\Delta = 2.2 \cdot 10^8 \text{ Дж} \cdot \text{м}^5 \cdot \text{Кл}^{-4}$, $\beta_0 = -4.8 \cdot 10^8 \text{ Дж} \cdot \text{м}^5 \cdot \text{Кл}^{-4}$, $k_0^2 = 1.9 \cdot 10^{-17}$ [4] находим коэффициент $\lambda = 2.8 \cdot 10^{-8} \text{ Дж} \cdot \text{м}^7 \cdot \text{Кл}^{-4}$. С помощью формулы (4) определяем $B_2 = 1.7 \cdot 10^9 \text{ Дж} \cdot \text{м}^5 \cdot \text{Кл}^{-4}$.

Темп сдвига точки потери устойчивости сегнетофазы относительно НС фазы, оцененный при указанных выше параметрах с помощью формулы (3), составляет $\approx 0.85 \text{ K} (\text{kV}/\text{см})^{-1}$. Из эксперимента (рис. 1) получено значение $\approx 1.2 \text{ K} (\text{kV}/\text{см})^{-1}$.

Таким образом, можно заключить, что индуцированный полем сдвиг T_c удовлетворительно описывается в рамках феноменологической теории и выполненные оценки коэффициентов термодинамического потенциала на основании имеющихся экспериментальных данных вполне реальны.

Соотношение Клайперона—Клаузиса для сегнетоэлектрического ФП первого рода $dT_c/dE = -P_s(T_c)/\Delta S$ для $\text{Sn}_2\text{P}_2\text{Se}_6$ при $\Delta S = 1.7 \text{ Дж/моль} = 10.3 \cdot 10^3 \text{ Дж/m}^3$ [⁹] и $P_s = 9 \cdot 10^{-2} \text{ Кл/m}^2$ дает значение $dT_c/dE = 0.9 \text{ К (кВ/см)}^{-1}$, что также находится в удовлетворительном согласии с экспериментом.

Рассмотрим влияние смещающего электрического поля на ФП параэлектрическая—НС фаза. Идентифицировать с необходимой точностью температуру T_i по положению максимумов зависимости $\epsilon'(T)$ под влиянием поля из-за значительной размытии этих максимумов не представляется возможным. Вместе с тем можно отметить, что ϵ' достигает максимальных значений, выходя на размытый максимум при напряженностях смещающего поля вплоть до $E = 4 \text{ кВ/см}$ практически при одной и той же температуре. Следует отметить, что в измерениях скорости ультразвука под влиянием поля E в $\text{Sn}_2\text{P}_2\text{Se}_6$ вплоть до напряженности 2 кВ/см также не обнаружено смещение T_i [¹⁰].

Рассчитанный с помощью формулы (2) сдвиг T при $E = 2 \text{ кВ/см}$ составляет $\approx 0.03 \text{ К}$, который в эксперименте при наблюдаемом размытии ФП не может быть зарегистрирован.

Из полученных результатов диэлектрических измерений фазовую $E-T$ диаграмму в кристалле $\text{Sn}_2\text{P}_2\text{Se}_6$ установить точно не представляется возможным, а в отношении зависимости $T_i(E)$ можно отметить, что, согласно теоретическим оценкам, она весьма слабая: при $E = 5 \text{ кВ/см}$ сдвиг $\Delta T_i \approx 0.17 \text{ К}$.

Как следует из теории [¹¹], в случае $\beta < 0$ фазовая диаграмма сегнетоэлектрика с НС фазой в электрическом поле в зависимости от величины коэффициентов термодинамического потенциала может иметь различный вид. Так, конечная критическая точка может быть размещена внутри температурной области существования НС фазы $T_c(0)-T_i(0)$ (при этом выше критического напряжения ФП непосредственно из парафазы в сегнетофазу не существует) и качественно фазовая диаграмма подобна случаю $\beta > 0$. При определенном соотношении параметров конечная критическая точка может находиться вне области существования НС фазы [¹¹]. В этом случае выше тройной точки на фазовой диаграмме, в которой исчезает НС фаза, существует до определенного критического напряжения электрического поля переход первого рода непосредственно из параэлектрической в сегнетоэлектрическую фазу. Подробно вид фазовых $E-T$ диаграмм при различных параметрах термодинамического потенциала обсуждается в работе [¹¹] (рис. 2).

Координаты критической точки задаются соотношениями [¹¹]

$$\alpha_{kp} = \frac{9\beta^2}{20\gamma}, \quad E_{kp} = \frac{8}{15} \alpha_{kp} \sqrt{\frac{3\beta}{10\gamma}}. \quad (6)$$

С целью прогнозирования, какой вид имела бы фазовая $E-T$ диаграмма в $\text{Sn}_2\text{P}_2\text{Se}_6$ при достижении больших напряженностей E , оценим параметры α_{kp} и E_{kp} . При $\gamma = 8.5 \cdot 10^{-7}$ [⁴] параметры α_{kp} и E_{kp} составляют соответственно 0.6 К и 0.3 кВ/см . Таким образом, эта конечная критическая точка скрыта внутри области НС фазы. Низкие значения α_{kp} и E_{kp} свидетельствуют о близости виртуального ФП пара—сегнетофаза к трикритической точке. При этом, согласно [¹¹], фазовая $E-T$ диаграмма должна иметь вид, подобный наблюдаемому в случае $\beta > 0$: линии $T_i(E)$ и $T_c(E)$ сливаются в тройной точке и при больших напряженностях переход непосредственно из парафазы в сегнетофазу не существует.

Рассмотрим диэлектрическую нелинейность кристалла $\text{Sn}_2\text{P}_2\text{Se}_6$ в области T_c . В паразелектрической фазе диэлектрическая проницаемость при наличии смещающего электрического поля (для случая слабых электрических полей) описывается формулами [12]

$$\varepsilon_{\text{n}}^{-1} = \alpha_T (T - T_0) \left(1 + \frac{3\beta E^2}{\alpha_T^3 (T - T_0)^3} \right) ,$$

$$\Delta\varepsilon_{\text{n}}(E) = \frac{3\beta E^2}{\alpha^2 (T - T_0)^2} \approx 3\beta E^2 \epsilon^4 . \quad (7)$$

В НС фазе коэффициент, характеризующий диэлектрическую нелинейность кристалла, перенормирован и выражение для диэлектрической проницаемости под влиянием электрического поля имеет вид

$$\varepsilon_{\text{HC}}^{-1} = \alpha - \frac{2B_2}{B_1} (\alpha - \alpha_0) - 3 \left(\frac{2B_2^2}{B_1} - \beta_0 \right) P_0^2 .$$

В точке T_i

$$\varepsilon_{\text{HC}}^{-1} = \alpha (T_i - T_0) \left\{ 1 - \frac{3 (2B_2^2/B_1 - \beta_0) E^2}{\alpha^3 (T_i - T_0)^3} \right\} ,$$

$$\Delta\varepsilon_{\text{HC}}(T_i) \approx -3 \left(2 \frac{B_2^2}{B_1} - \beta \right) E^2 \epsilon^4 (T_i) . \quad (8)$$

Таким образом, в результате изменения эффективного коэффициента диэлектрической нелинейности при переходе из паразелектрической в НС фазу на температурной зависимости при наличии смещающего поля в точке T_i должен наблюдаться скачок вверх на величину

$$\varepsilon_{\text{HC}}(T_i) - \varepsilon_{\text{n}}(T_i) \approx \frac{6B_2^2}{B_1} E^2 \epsilon^4 (T_i, E = 0) . \quad (9)$$

Наличие скачка на температурной зависимости ϵ' при T_i в присутствии смещающего электрического поля предсказывалось в работе [13]. Скачок ϵ' при T_i , оцененный с помощью формулы (9), при упомянутых выше значениях B_1 и B_2 $\epsilon'(T_i; E = 0) = 1.6 \cdot 10^3$, $E = 1$ и 5 кВ/см составляет соответственно 0.25 и 6.2 единиц. В эксперименте четко выраженного скачка ϵ' не видно. Возможно, это связано с заметным размытием максимума $\epsilon'(T)$ при T_i . Однако, как следует из рис. 1, б, в НС фазе по отношению к паразелектрической фазе под влиянием постоянного электрического поля действительно появляется дополнительный вклад в ϵ' .

Рассмотрим влияние постоянного электрического поля на ϵ' на низкотемпературной границе существования НС фазы. Тот факт, что максимум $\epsilon'(T)$ при T_c в $\text{Sn}_2\text{P}_2\text{Se}_6$ под воздействием смещающего электрического поля не подавляется, свидетельствует об ином, чем в несобственных сегнетоэлектриках, характере распределения поляризации, поскольку в случае наличия выраженной солитонной структуры максимум $\epsilon'(T)$ уменьшается в результате эффекта зажатия солитонов [5].

В твердом растворе $(\text{Pb}_{0.25}\text{Sn}_{0.75})_2\text{P}_2\text{Se}_6$ подобно несобственным сегнетоэлектрикам, в которых на низкотемпературной границе НС фазы действительно

имеется выраженная солитонная структура, максимум $\epsilon'(T)$ под влиянием электрического поля подавляется. Это может быть обусловлено двумя причинами. В результате того что ширина НС фазы в исследуемом твердом растворе значительно больше, чем в исходном соединении $\text{Sn}_2\text{P}_2\text{Se}_6$, распределение поляризации в нем за счет вклада высших гармоник вблизи T_c , возможно, становится доменообразным. С другой стороны, вследствие влияния дефектов, индуцированных замещением атомов в сегнетоактивной подрешетке, на НС волну поляризации возможно образование хаотического состояния. Размытый максимум $\epsilon'(T)$ при T_c свидетельствует в пользу второго предположения. Кроме того, в кристалле $\text{Sn}_2\text{P}_2\text{Se}_6$, допированном медью, в котором максимум $\epsilon'(T)$ при T_c размыт, а ширина НС фазы такая же, как в беспримесном кристалле, влияние электрического поля на поведение диэлектрической проницаемости аналогично влиянию его в твердом растворе $(\text{Pb}_{0.25}\text{Sn}_{0.75})_2\text{P}_2\text{Se}_6$. Таким образом, из этих результатов следует, что наблюдаемое влияние электрического поля на $\epsilon'(T)$ в $(\text{Pb}_{0.25}\text{Sn}_{0.75})_2\text{P}_2\text{Se}_6$ обусловлено именно дефектами. Гистерезис на полевых зависимостях, имеющий место и при температурах выше температуры максимума $\epsilon'(T)$, свидетельствует о наличии остаточной поляризации в кристалле после прикладывания электрического поля. Этот эффект после перевода образца из сегнетофазы в НС фазу выражен более сильно, чем в случае перевода образца в НС фазу из параэлектрической фазы: электрическое поле, приложенное к образцу на кривой охлаждения в непосредственной близости от температуры максимума $\epsilon'(T)$, индуцирует сегнетоэлектрическое состояние, о чем свидетельствуют характерные для сегнетофазы полевые зависимости. Отметим, что выше температуры максимума $\epsilon'(T)$ приблизительно до 140 К в этом кристалле наблюдается ненасыщенная петля гистерезиса. Эти факты указывают на то, что в низкотемпературной области НС фазы в разупорядоченных путем частичного замещения атомов Sn на Pb в кристаллах $(\text{Pb}_y\text{Sn}_{1-y})_2\text{P}_2\text{Se}_6$ проявляются сегнетоэлектрические свойства.

С понижением температуры к T_c период модуляции НС структуры возрастает и распределение поляризации за счет вклада высших гармоник становится более «ангармоничным». В результате этого возрастает диэлектрический отклик НС структуры. При этом эффективность пиннинга волн модуляции дефектами становится большей, вследствие чего распределение поляризации в таком состоянии с регулярного превращается в хаотическое.

Таким образом, в настоящей работе на основании результатов исследования влияния постоянного электрического поля на температурную зависимость диэлектрической проницаемости и имеющихся данных о термодинамических параметрах собственного сегнетоэлектрика $\text{Sn}_2\text{P}_2\text{Se}_6$ с несопротивимой фазой установлены особенности вида $E-T$ диаграммы и диэлектрической нелинейности этих кристаллов.

Список литературы

- [1] Durand D., Denoyer F., Lefur D., Currat R., Bernard L. // J. Phys. Lett. 1983. V. 44. N 5. 1—207—1—216.
- [2] Qiu S. L., Mitra Dutta and Cummins H. Z., Wicksted J. P. Shapiro S. M. // Phys. Rev. B. 1986. V. 34. N 11. P. 7901—7910.
- [3] Майор М. М., Хома М. М., Высочанский Ю. М., Гурзан М. И., Сливка В. Ю. // Кристаллография. 1987. Т. 32. № 4. С. 1045—1048.
- [4] Высочанский Ю. М., Майор М. М., Ризак В. М., Перечинский С. М., Сливка В. Ю., Хома М. М. // Изв. АН СССР, сер. физ. 1990. Т. 54. № 4. С. 667—681.
- [5] Holakovsky J., Dvorak V. // J. Phys. C: Solid State Phys. 1988. V. 21. N 31. P. 5449—5454.
- [6] Майор М. М., Высочанский Ю. М., Сало Л. А., Ризак И. М., Поторий М. В., Сливка В. Ю. // ФТГ. 1989. Т. 31. № 6. С. 203—208.
- [7] Парсамян Т. К., Хасанов С. С., Шехтман В. Ш., Высочанский Ю. М., Сливка В. Ю. // ФТГ. 1985. Т. 27. № 11. С. 3327—3331.
- [8] Ema K., Hamano K., Levanjuk A. P. // J. Phys. Soc. Japan. 1990. V. 59. N 4. P. 1438—1450.

- [9] Майор М. М., Коперлес Б. М., Савченко Б. А., Гурзан М. И., Морозова О. В., Корда Н. Ф. // ФТТ. 1983. Т. 25. № 1. С. 214—223.
- [10] Валявичюс В. Д., Самуленис В. И. // Тез. докл. XII Всес. конф. по физике сегнетоэлектриков. 1989. Т. 2. С. 63.
- [11] Ishibashi Y. // J. Phys. Soc. Japan. 1987. V. 56. N 1. P. 195—199.
- [12] Лайнс М., Гласс А. Сегнетоэлектрики и родственные им материалы. М.: Мир, 1981. 735 с.
- [13] Mashijama H., Hasebe K., Tanisaki S. // J. Phys. Soc. Japan. 1988. V. 57. N 1. P. 166—175.

Ужгородский
государственный университет

Поступило в Редакцию
18 апреля 1991 г.
В окончательной редакции
25 июля 1991 г.
